



星間物質/星形成から TAOに期待すること

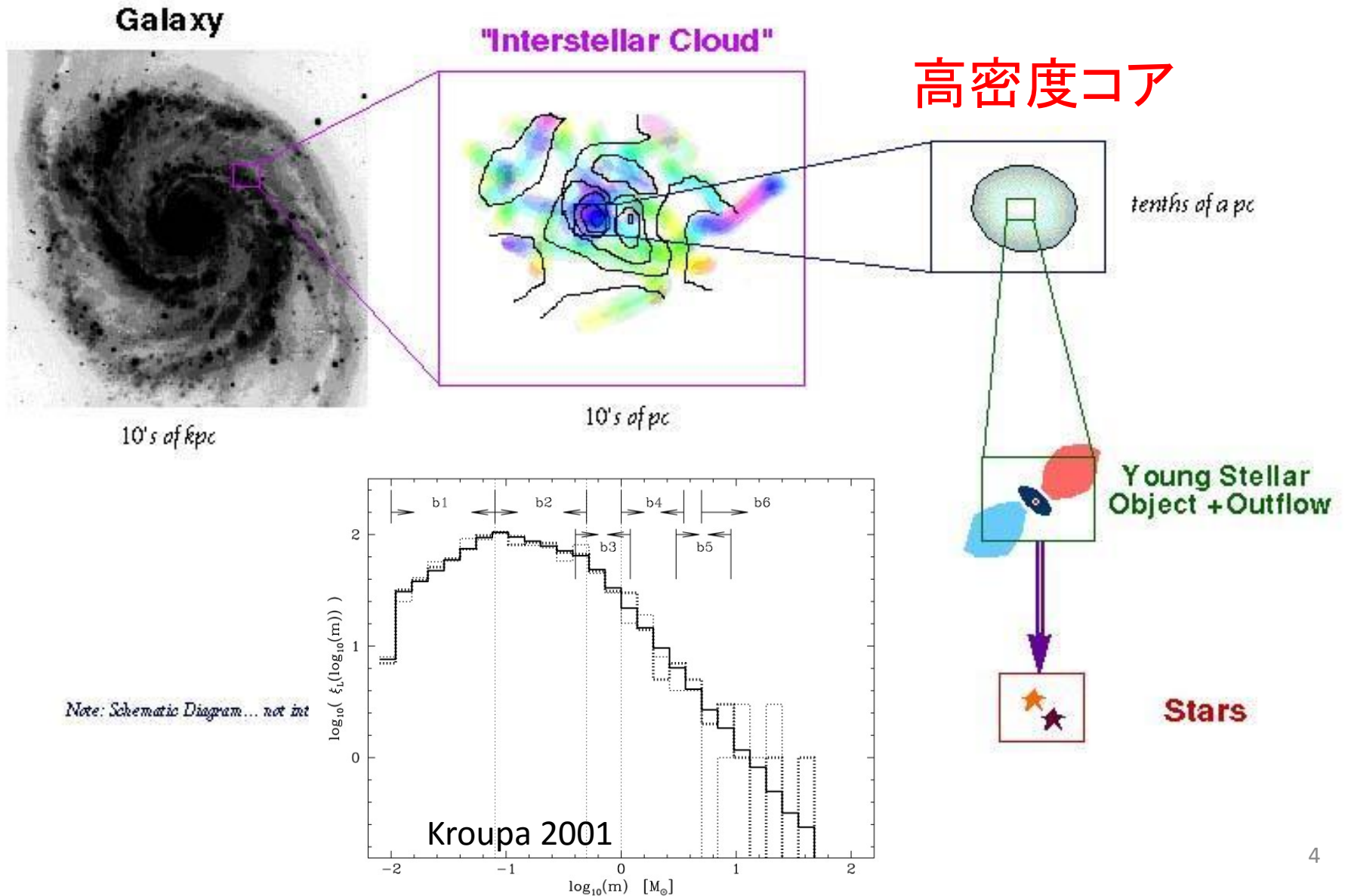
中村文隆(国立天文台)

今日のお話し

- ▶ 星形成研究の最近の成果の紹介
Herschel, Spitzer, ...
星のIMFの起源
- ▶ TAOに期待する星形成サイエンス
コアから星へー質量降着過程の理解
大質量星の形成
- ▶ まとめ

- ▶ 星は様々な環境でどのように形成されるか？
 - 銀河の形成・進化
 - 大質量星のフィードバック、
 - 低い星形成率
 - 惑星の形成・進化
 - 惑星形成の初期条件

星間雲から星が誕生する過程



Molecular Cloud Structures: Filaments and Cores

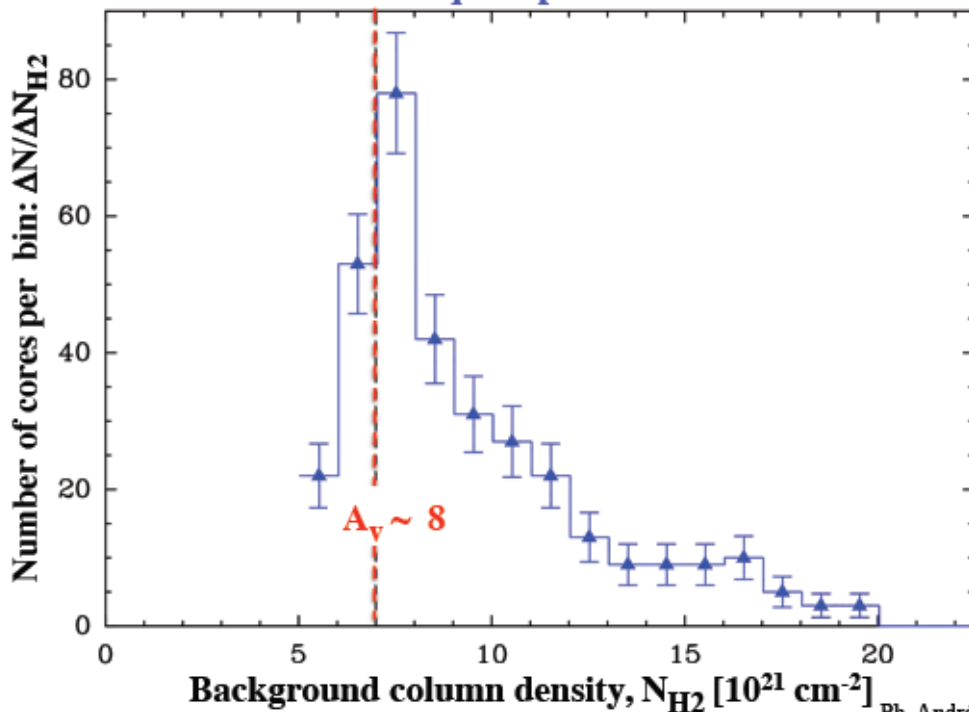
Herschel Gould Belt Survey (P. Andre)の成果

分子雲は多数のフィラメントからなる

ほとんどの高密度コアはフィラメントに沿って存在

Strong evidence of a column density “threshold”
for the formation of prestellar cores

Distribution of background column densities
for the Aquila prestellar cores

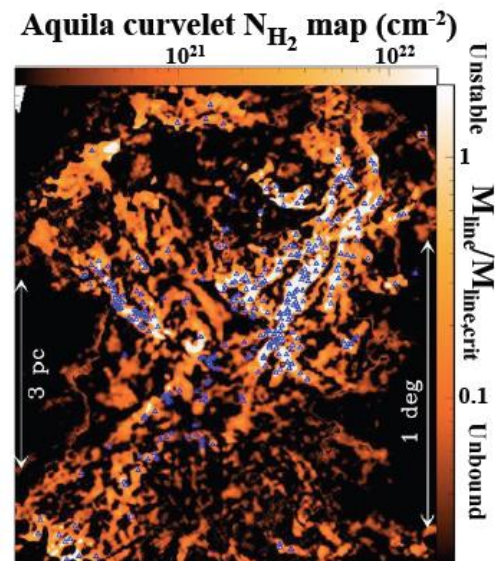


In Aquila, ~90%
of the prestellar
cores identified
with *Herschel*
are found above
 $A_V \sim 8 \Leftrightarrow$
 $\Sigma \sim 130 M_{\odot} \text{ pc}^{-2}$

Könyves et al. in prep
André et al. IAU270

See also:
Onishi et al. 1998
Johnstone et al. 2004

Ph. André – ALMA Symposium – Hakone



André et al. 2010, A&A Special issue

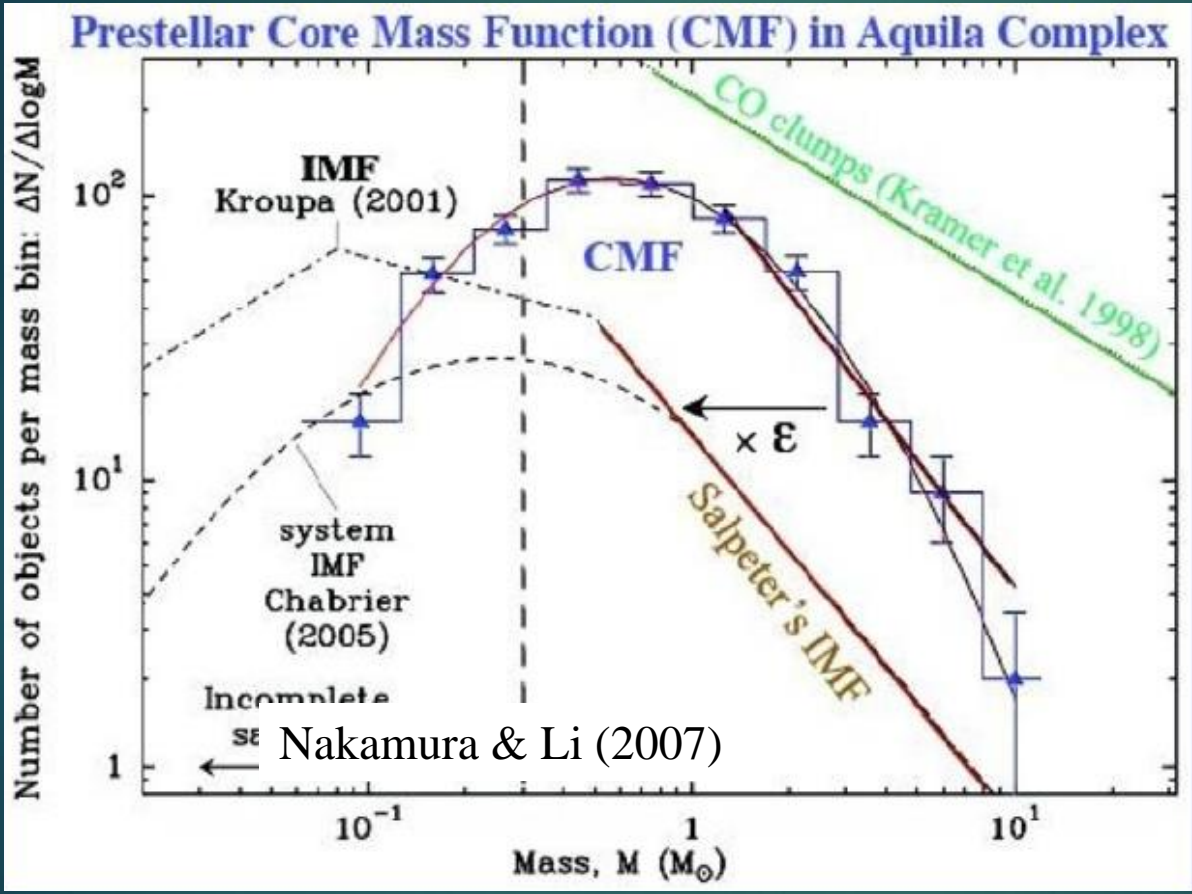


From P. Andre (2012)

Prestellar Core Mass Function (CMF)

- ▶ コアから星形成効率 ϵ で星が形成されると、星の IMFが再現できる？

CMFは？
→MHD乱流の
スペクトル



(Andre 2010)

CMF → IMF

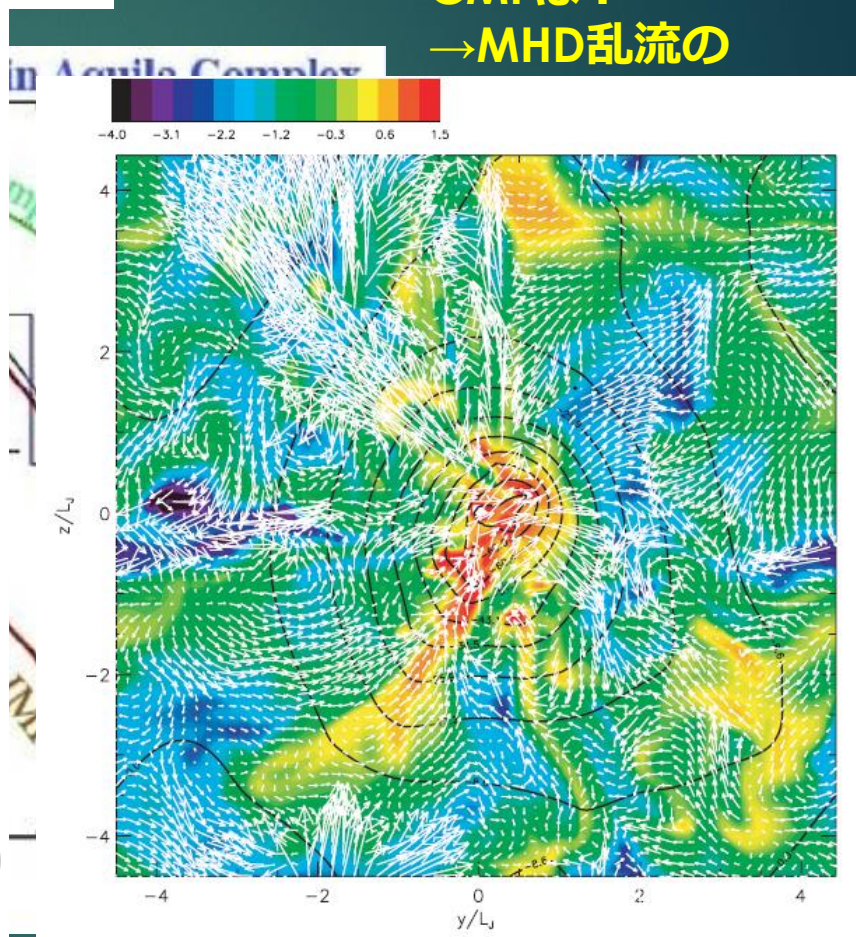
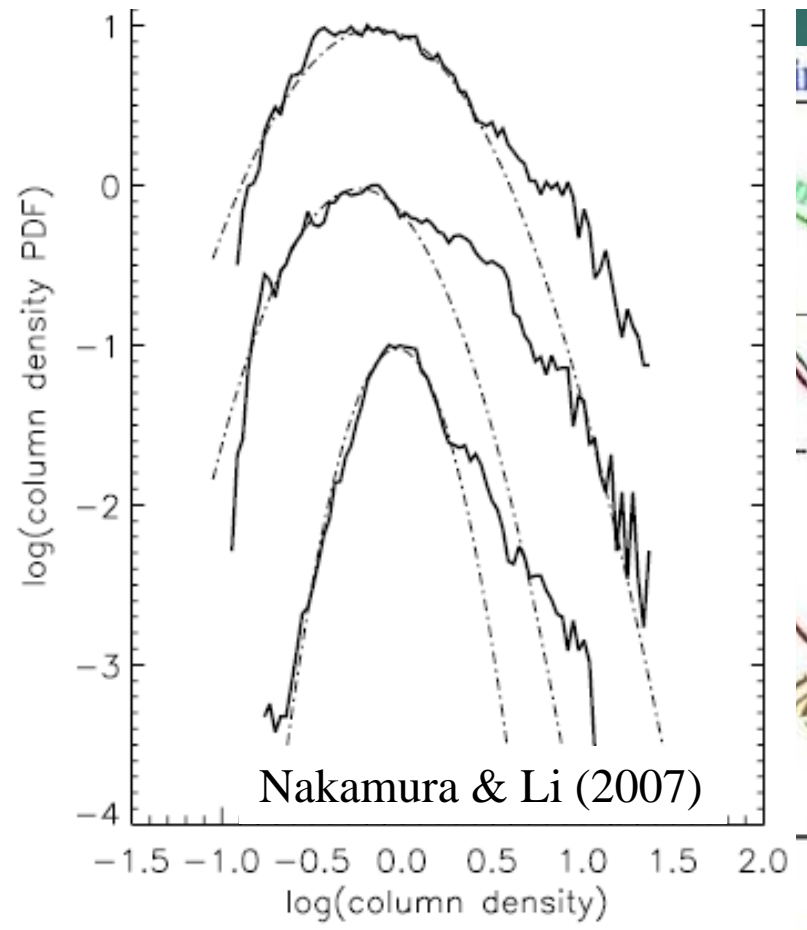
(c.f. Motte et al. 1998)

Prestellar Core Mass Function (CMF)

コアから星形成効率で星が形成されると、星の

密度のProbability Distribution Function

CMFは？
→MHD乱流の

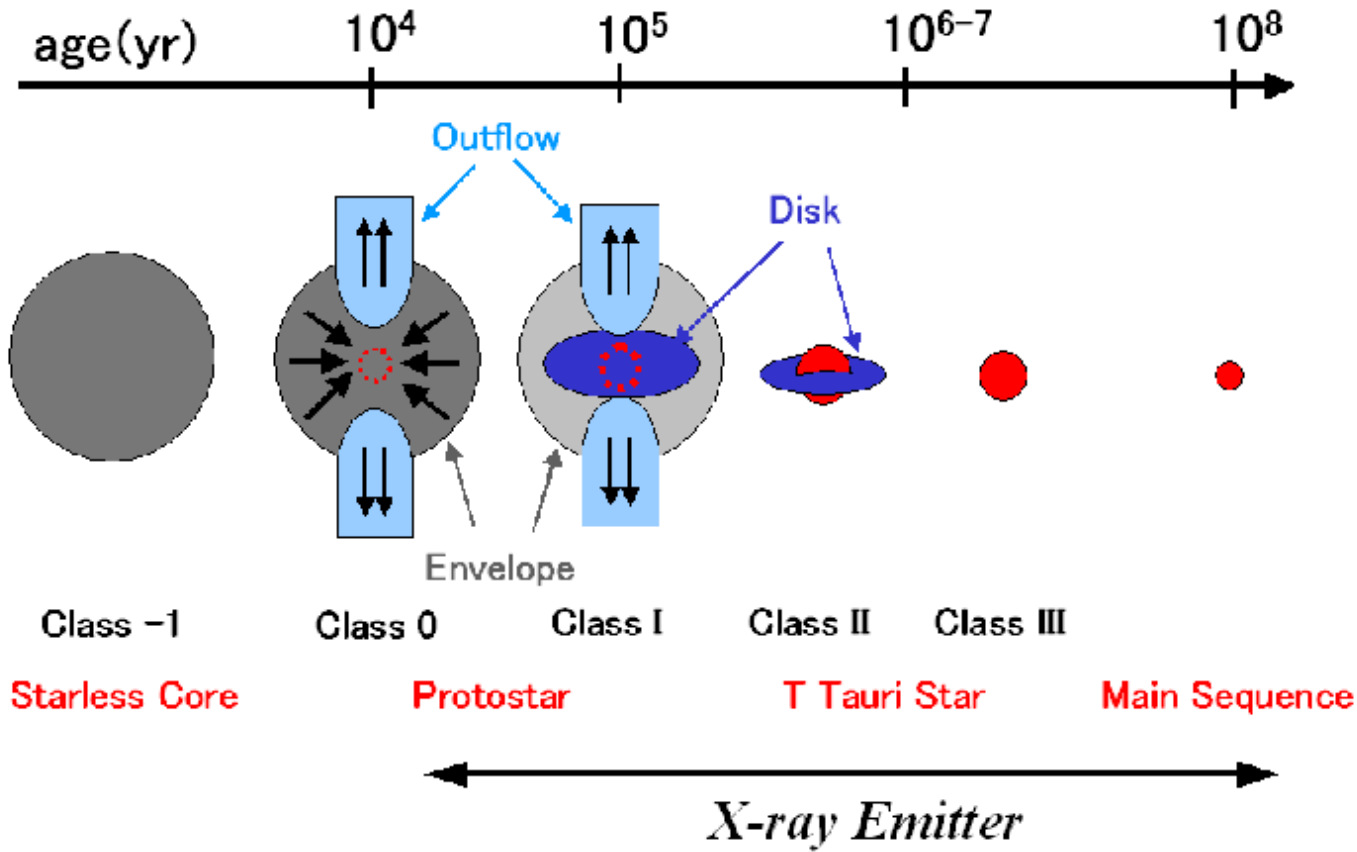


(Andre 2010)

CMF → IMF

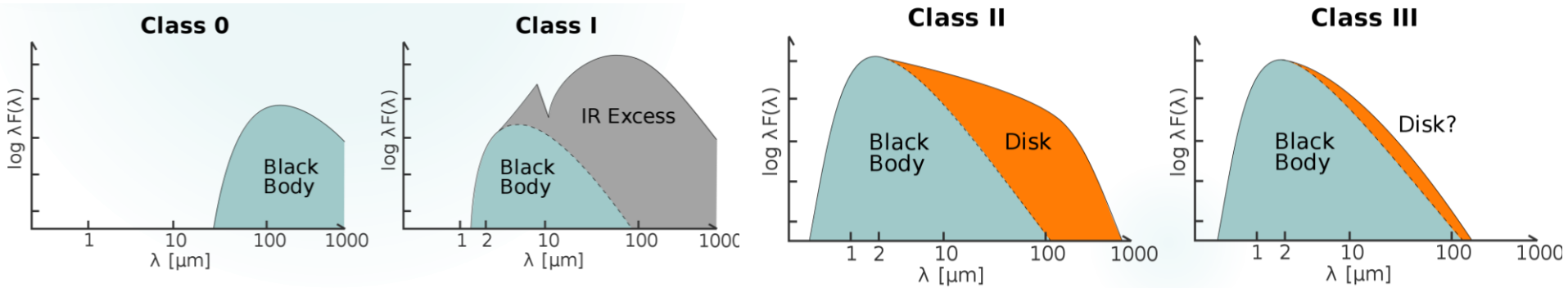
(c.f. Motte et al. 1998)

コアから星へ



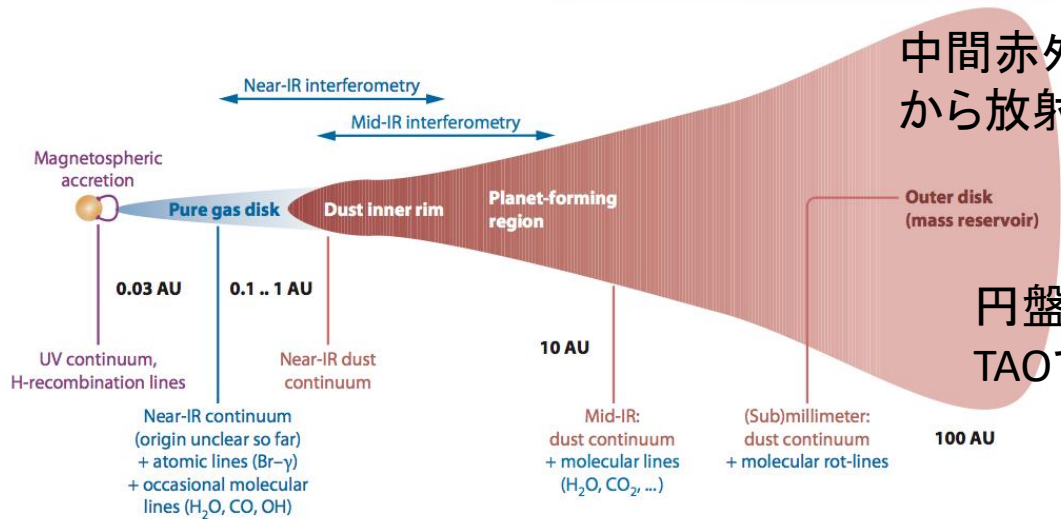
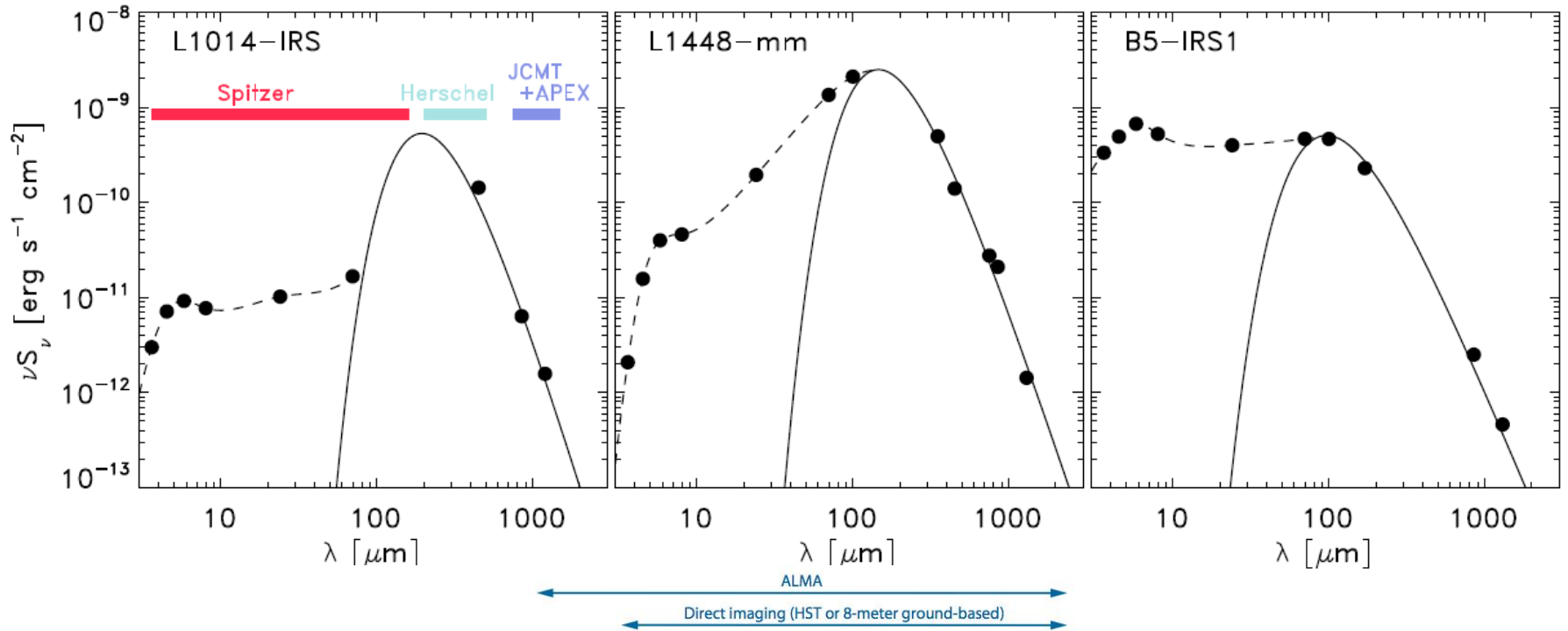
From Y.Tsuboi 2014

(e.g., Masunaga & Inutsuka)



原始星のSED

Jorgensen et al. (2008)



中間赤外線は円盤やエンベロープから放射される

円盤は100AUスケール(～1")
TAOで円盤を分解するのは難しい

Luminosity Problem

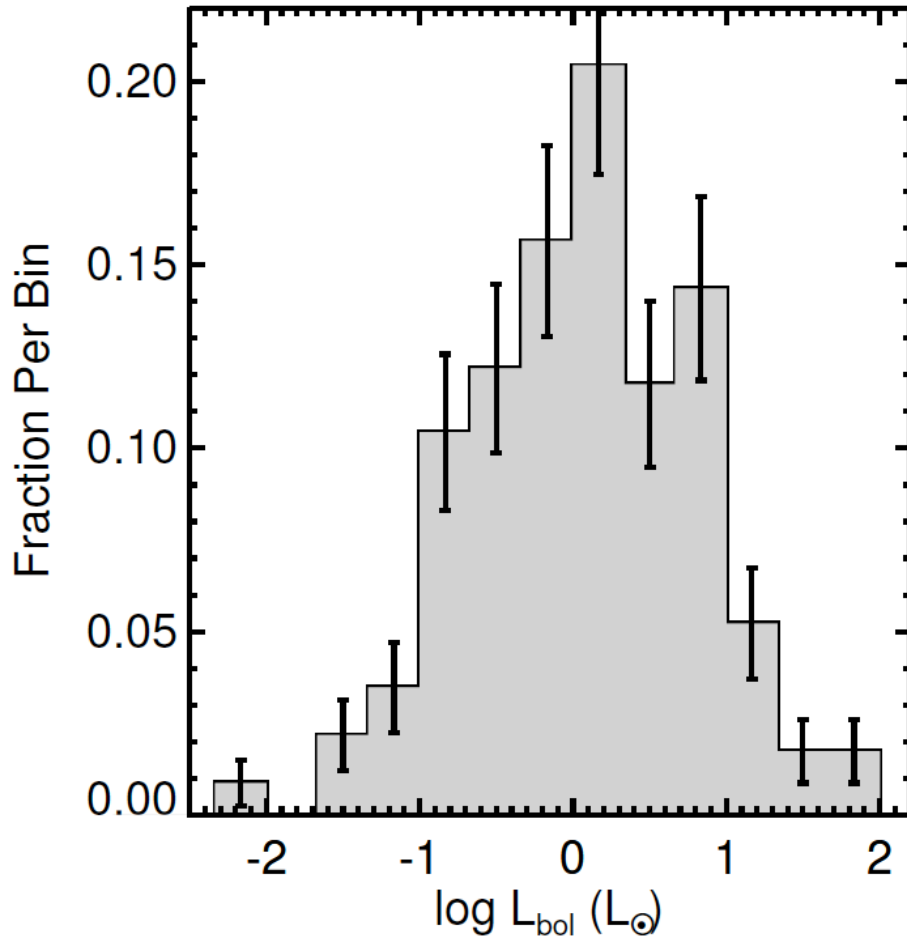
10

- ▶ 原始星の光度は理論モデルの予想よりもずっと暗い(Kenyon et al. 1990)
- ▶ $\langle L_{\text{obs}} \rangle \sim 2L_{\odot}$ for Class 0/I (Enoch et al. 2009)
- ▶ 質量降着から予想される光度

$$\begin{aligned} L_{\text{acc}} &= f \frac{GM\dot{M}}{R} \\ &= \frac{0.75 \times G \times 0.25M_{\odot} \times 2.5 \times 10^{-6} M_{\odot} / \text{yr}}{2.5R_{\odot}} \\ &\sim 5.9L_{\odot} \end{aligned}$$

原始星の光度の分布

11



▶ 平均値

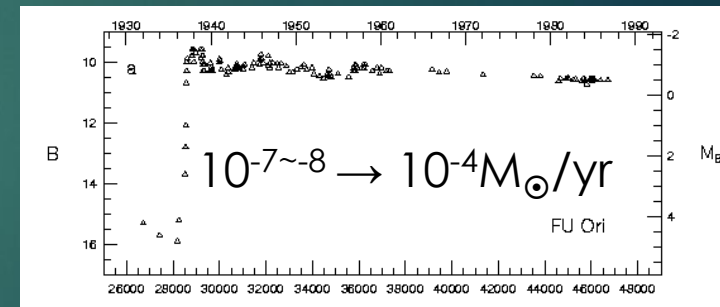
$$L_{\text{bol}} = 4.3 L_{\odot}$$

▶ 中間値

$$L_{\text{bol}} = 1.3 L_{\odot}$$

▶ 範囲 3-4桁にわたる

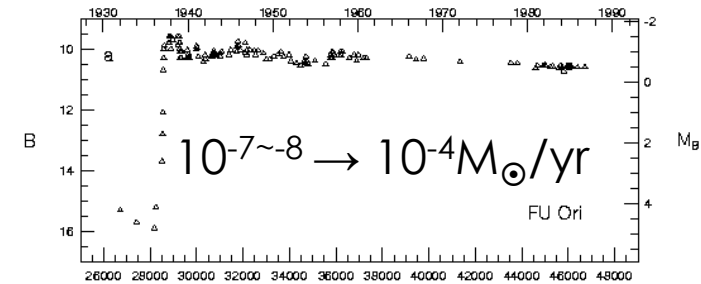
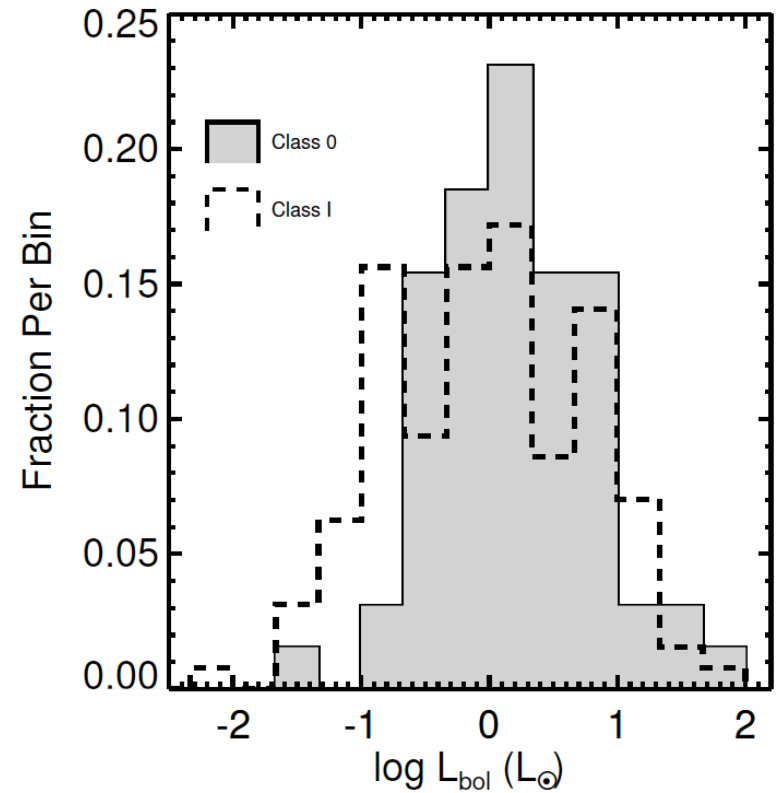
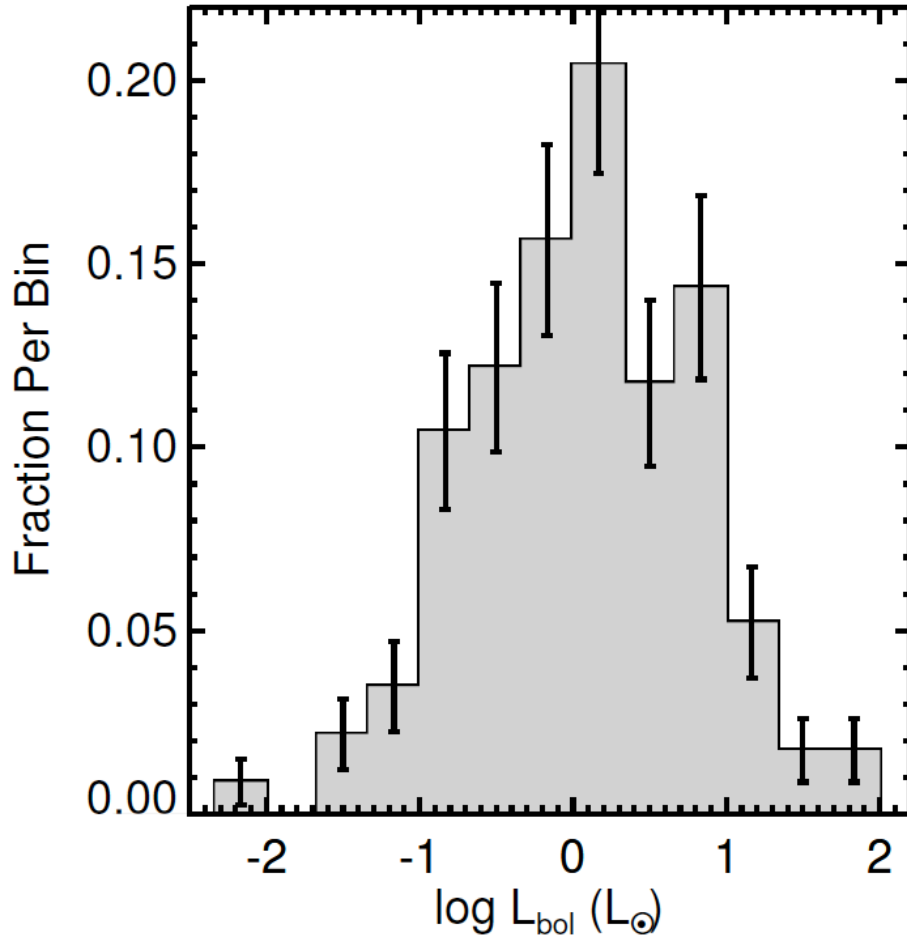
$$0.01 - 69 L_{\odot}$$



星周構造・エンベロープ構造の多様性
→星の最終質量を決める

Dunham et al. (2012)
spritzer c2d+GB

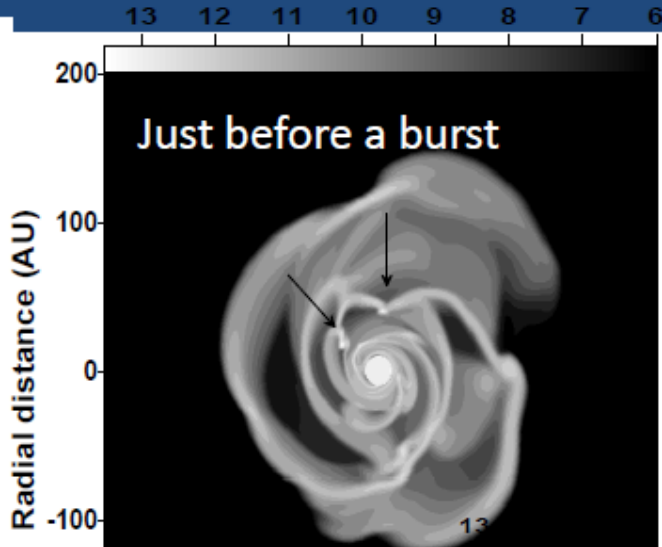
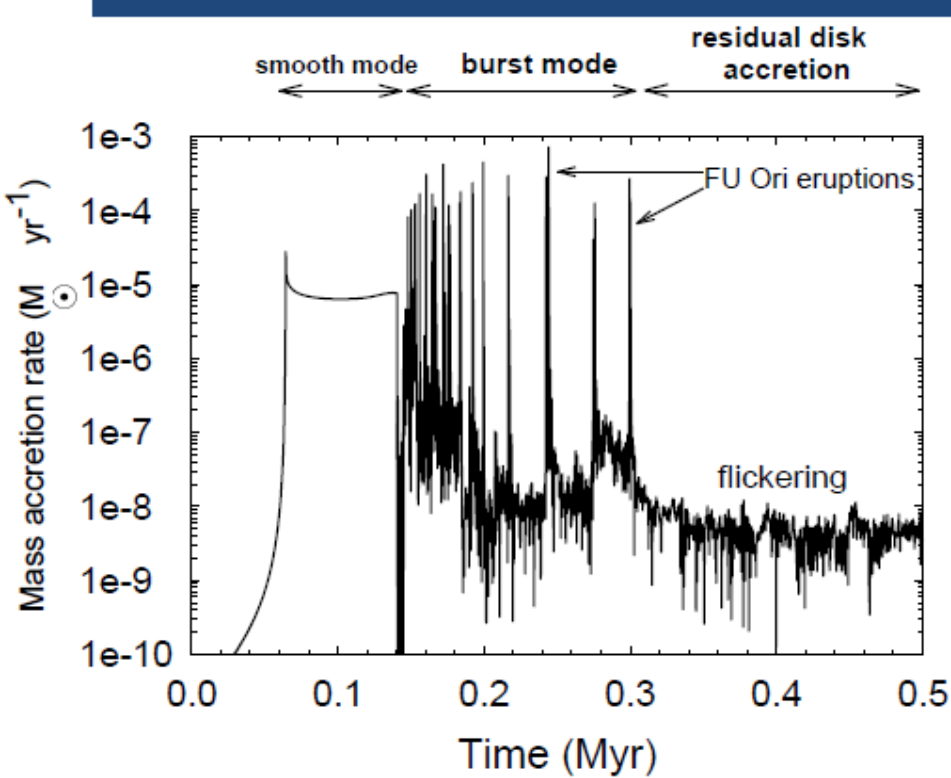
原始星の光度の分布



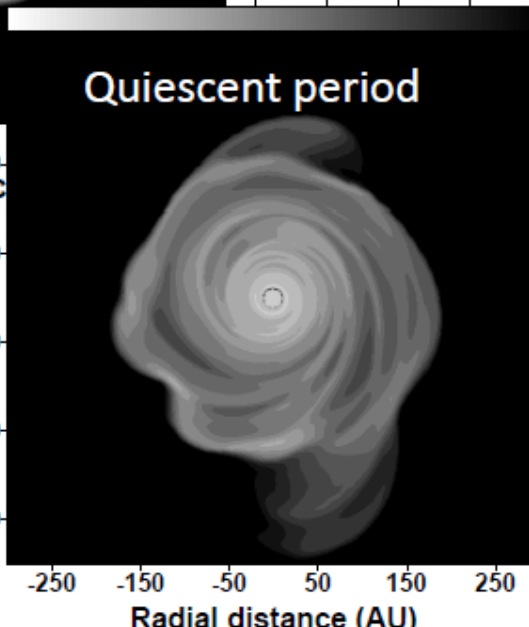
星周構造・エンベロープ構造の多様性
→星の最終質量を決める

Dunham et al. (2012)
spritzer c2d+GB

Key Results for Early Accretion Phase



Nonlinear instability \rightarrow clumps \rightarrow efficient angular momentum transport



Bursts of accretion occur during the early accretion phase, as clumps are formed and driven inward. This is followed by a more quiescent phase that is still characterized by flickering accretion.

from Basu 2011

Vorobyov & Basu (2006)

Episodic Accretionの頻度

14

- ▶ N_p = Bursting sourceの数~20 (observed in last 70 yr)
- ▶ N^* = 星形成率~ 0.016個/yr (Offner & McKee 2011)
- ▶ $\langle m_f \rangle \sim 0.5 M_\odot$

$$\Delta t_{high} = \frac{N_p}{\dot{N}_*} \sim \frac{20}{0.016 / \text{yr}} \sim 1200 \text{ yr}$$

降着時間の0.1-1%

$$f_{epi} = \frac{\dot{M}_{high} \Delta t_{high}}{\langle m_f \rangle} \sim \frac{10^{-4} M_\odot / \text{yr} \times 1200 \text{ yr}}{0.5 M_\odot} \sim 0.24$$

星の質量の1/4

TAOによる観測

15

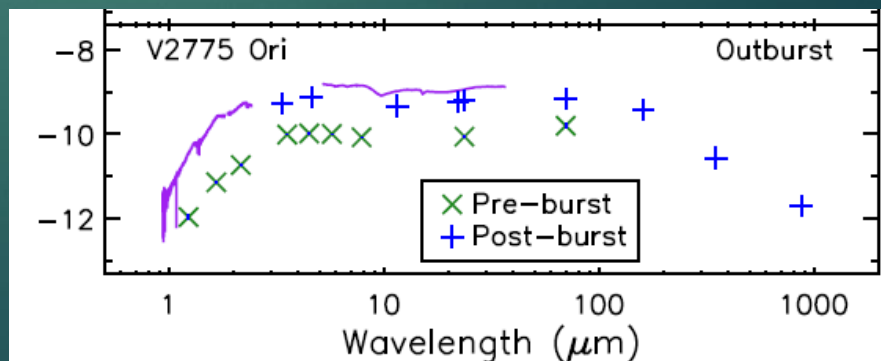
- ▶ 広域観測による原始星のclassification

星周構造

ALMA (1"スケールの構造) との連携

- ▶ 原始星の光度変化のモニタリング観測

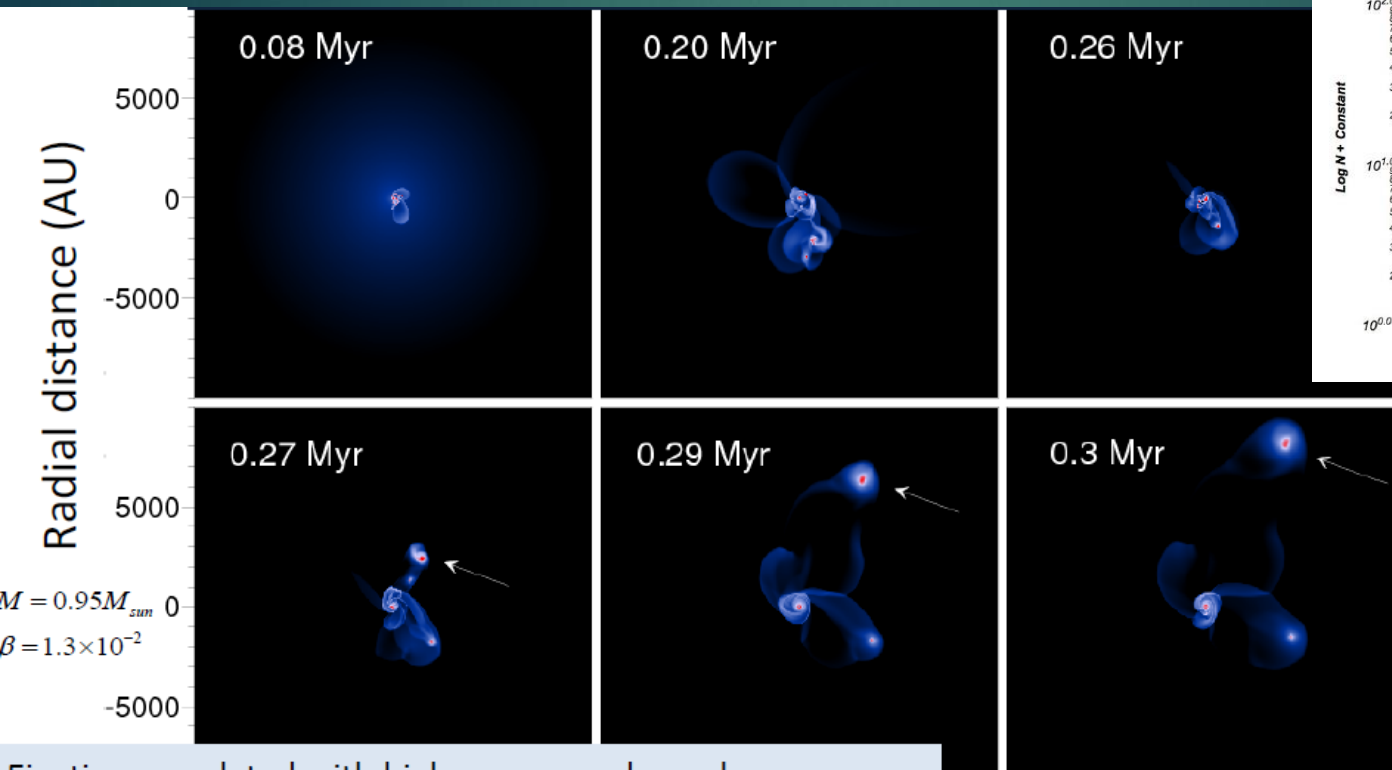
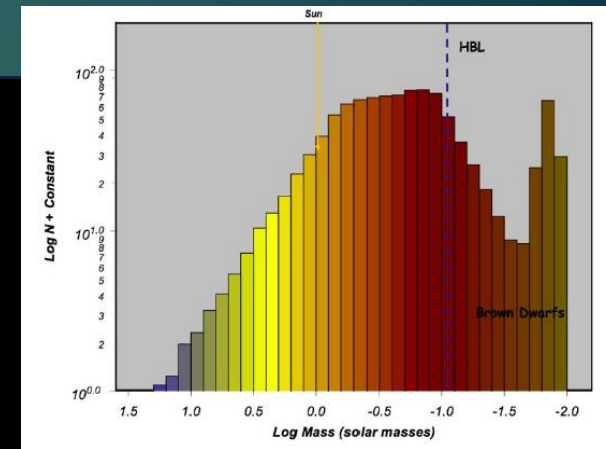
- ▶ 原始星への質量降着過程(Luminosity Problem)の
説明



小質量天体(小質量星・褐色矮星・惑星質量天体)

- ▶ 小質量天体(褐色矮星・惑星質量天体)の形成メカニズム
ejection vs. core collapse

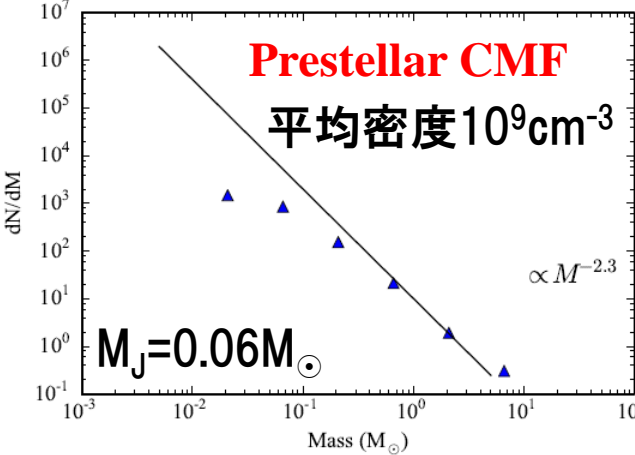
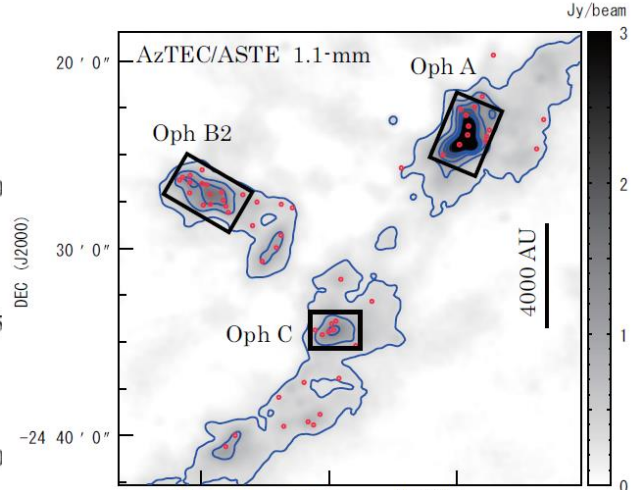
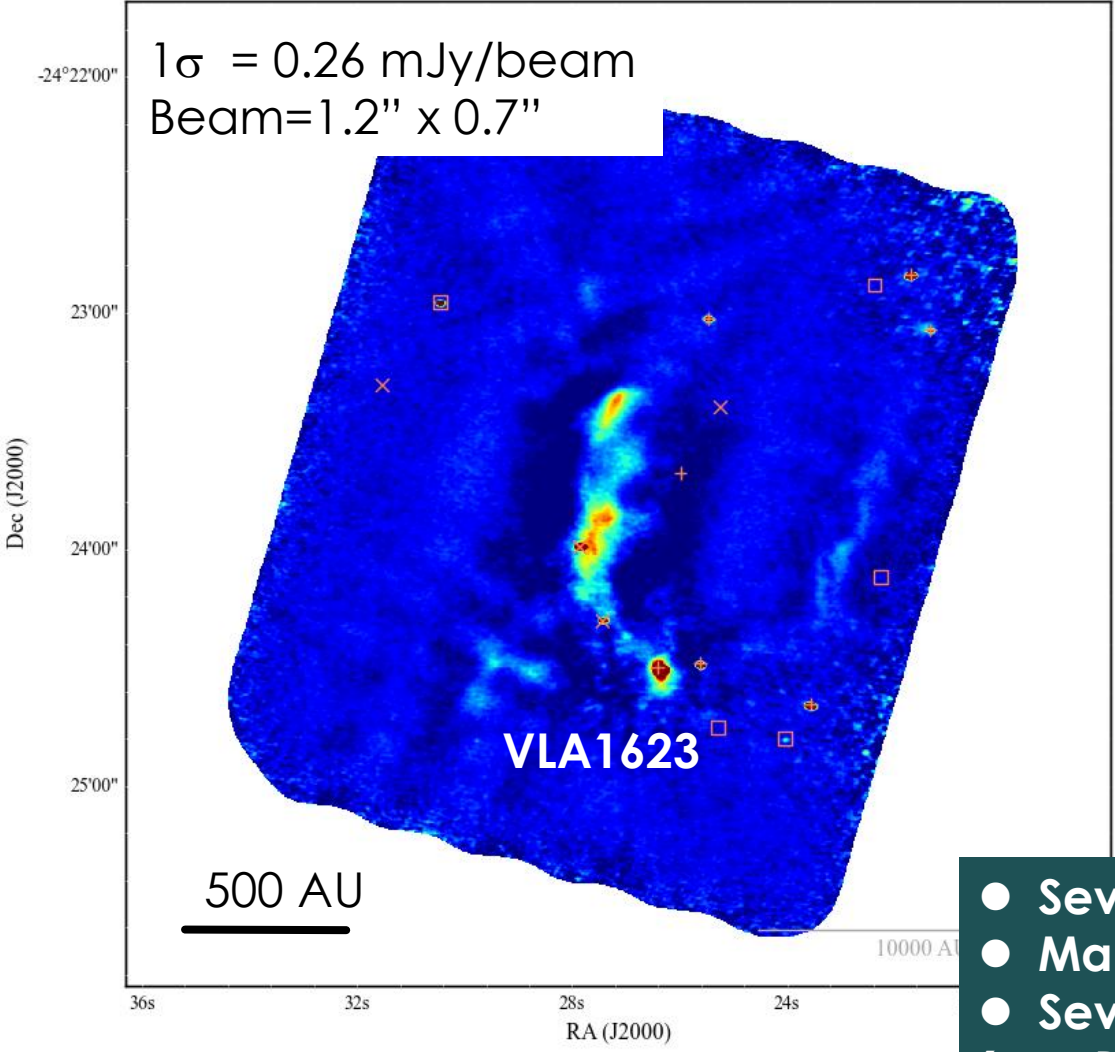
Orion Trapezium ClusterのIMF



Ejection correlated with higher mass and angular momentum in initial state.

Continuum image of the Oph A region

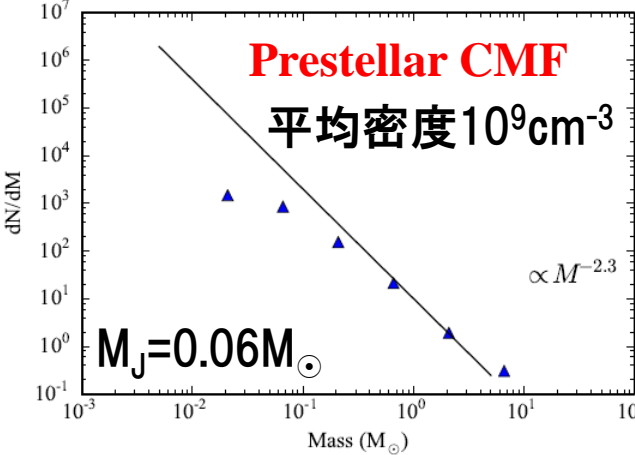
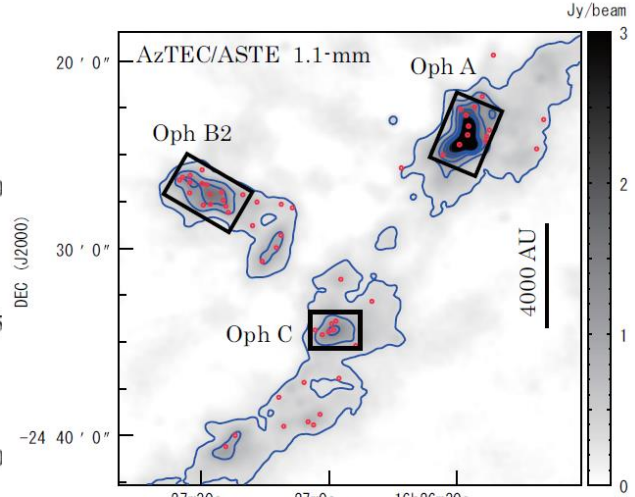
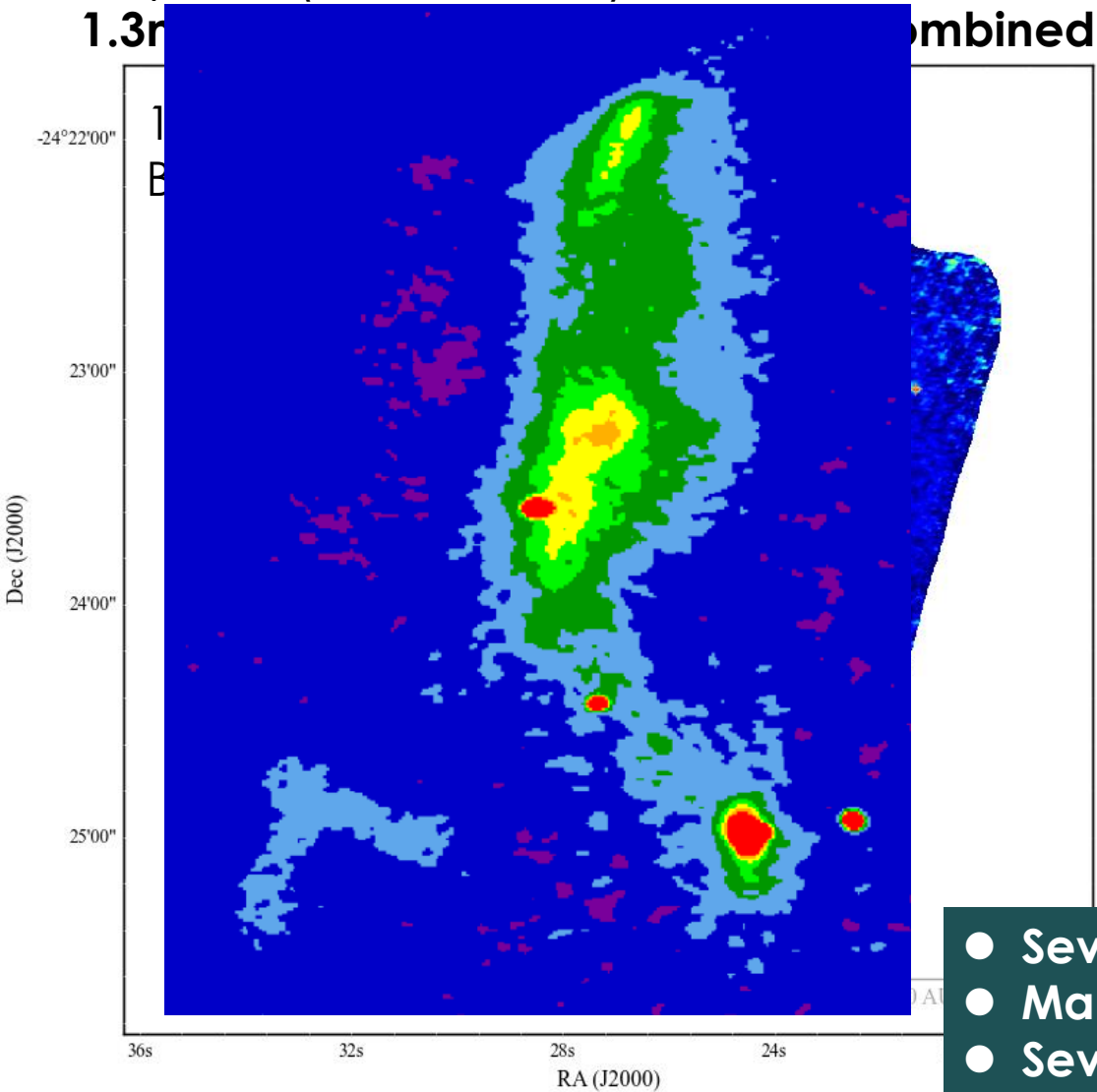
ALMA cycle-2 (PI Nakamura)
1.3mm continuum map 7m + 12m combined



- Several strong protostellar sources
- Many (spatially-extended) starless
- Several small compact sources (pre-BD and proto-BD candidates?)

Continuum image of the Oph A region

ALMA cycle-2 (PI Nakamura)



- Several strong protostellar sources
- Many (spatially-extended) starless
- Several small compact sources (pre-BD and proto-BD candidates?)

TAOによる小質量天体の観測

19

- ▶ 星団形成領域には小質量コアが多数存在する。
コアの進化段階を探るうえで赤外線観測は重要

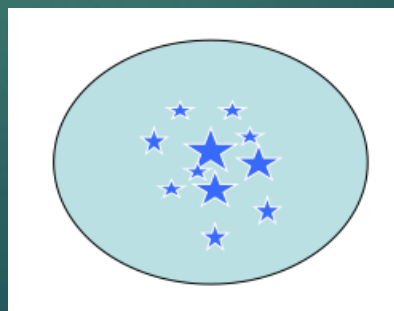
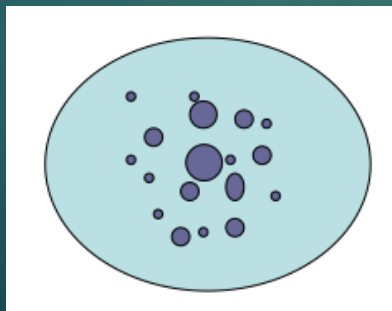
ALMA観測との連携: 広域観測から
小質量天体の同定・発見

- ▶ 褐色矮星・惑星質量天体などの小質量天体はejectionモデルでは、星形成領域で発見できるはず

大質量星形成

20

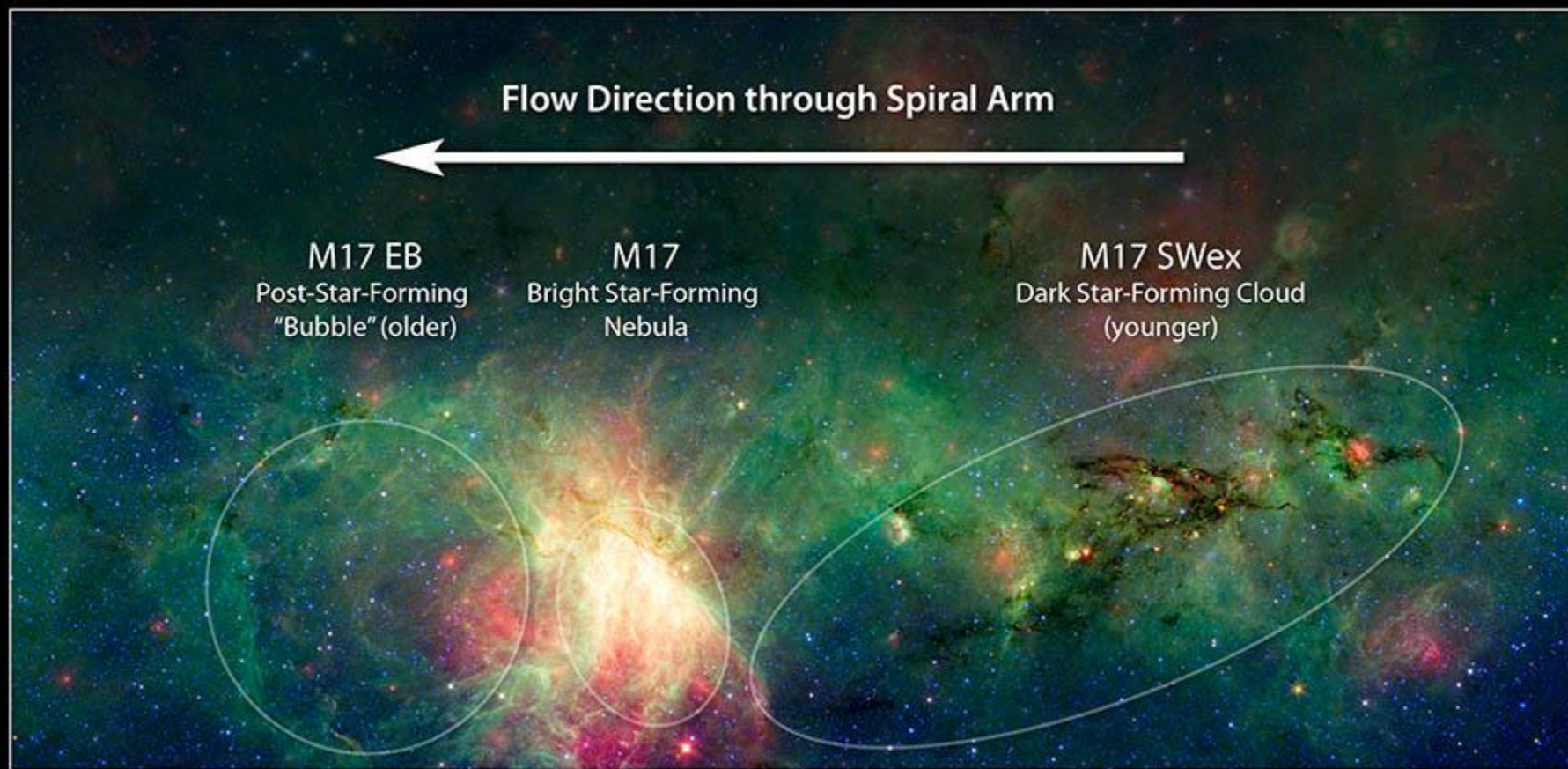
- ▶ 研究意義：大質量星は数は少ないが、放射エネルギーは大きく、銀河の進化に多大な影響を及ぼす
- ▶ 現状：サンプル数が不足・十分な分解能の観測情報も不足
- ▶ 大質量星・星団形成メカニズムは理解が進んでいない
turbulent core vs competitive accretion
(理論的にはエンベロープ構造は違うはず)



大質量星の形成時期

21

d ~ 2100 pc



大質量星の形成時期

22

d ~ 2100 pc

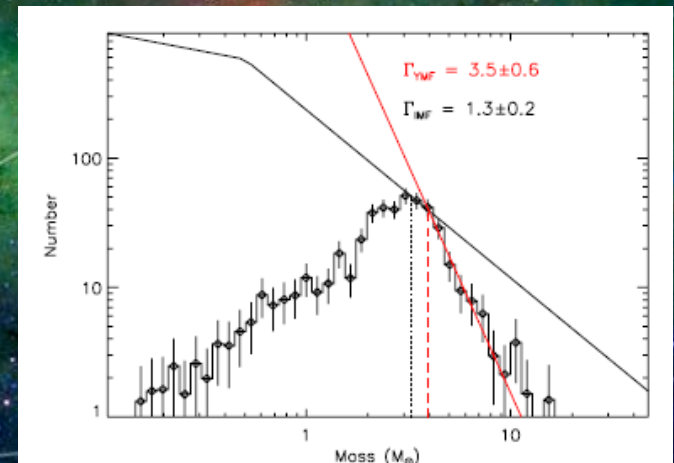
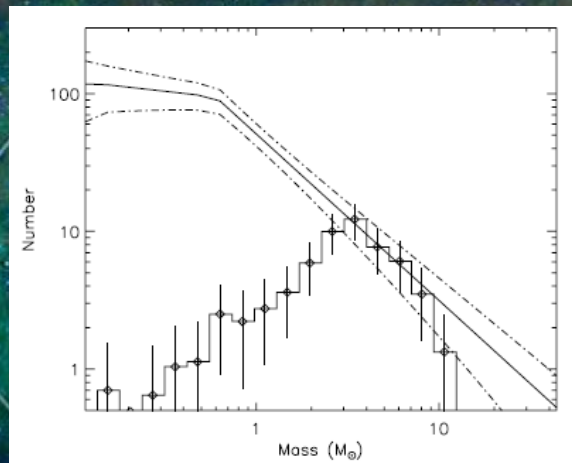
Flow Direction through Spiral Arm



M17 EB
Post-Star-Forming
"Bubble" (older)

M17
Bright Star-Forming
Nebula

M17 SWex
Dark Star-Forming Cloud
(younger)



TAOによる大質量星形成過程の解明

- ▶ SWIMS, MIMIZUKUによる近傍のIRDC, 若い星団の観測
IRDCのstar formation activityを探る
protostarの同定、SEDによるclassification
high-mass protostar ($H\alpha$, Paschen α)
- ▶ 大質量星の形成過程の解明
降着過程、エンベロープ構造
- ▶ 大質量星の形成時期の解明
M17と同様の質量関数か？
大中質量星のclassification

まとめ

- ▶ 星形成研究を推進する上で、まだまだサンプル数が不足しているので、TAOによる星形成領域の広域観測を推進する価値は高い
- ▶ 数キロパーセク以内の星形成領域の広域観測による原始星の進化段階の同定
- ▶ 原始星への質量降着過程の解明
- ▶ 大質量星形成領域（IRDC）のサーベイ観測